

DAFTAR PUSTAKA

- Akanksha, Roopashree, G., & Lokesh, K.S. (2014). Comparative Study of Electrode Material (Iron, Aluminium and Stainless steel) for Treatment of Textile Industry Wastewater. *International Journal on Environmental Sciences*, 4, 519-531.
- Álvarez-Ayuso, E., & Nugteren, H. W. (2005). Purification of Chromium(VI) Finishing Wastewaters Using Calcined and Uncalcined Mg-Al-CO₃-hydrotalcite. *Water Research*, 39(12), 2535–2542. <https://doi.org/10.1016/j.watres.2005.04.069>
- Bessy, P. A. Y., & H., E. N. (2018). Pengolahan Limbah dengan Menggunakan Sistem Flotasi Dan Lumpur Aktif, Studi Kasus: Kawasan Industri Ngoro. *Jurnal Envirotek*, 10(2). <https://doi.org/10.33005/envirotek.v10i2.1233>
- Cañizares, P., Jiménez, C., Martínez, F., Sáez, C., & Rodrigo, M. A. (2007). Study of the Electrocoagulation Process Using Aluminum and Iron Electrodes. *Industrial and Engineering Chemistry Research*, 46(19), 6189–6195. <https://doi.org/10.1021/ie070059f>
- Chang, H. M., & Zenyuk, I. V. (2023). Membrane Electrode Assembly Design to Prevent CO₂ Crossover in CO₂ Reduction Reaction Electrolysis. *Communications Chemistry*, 6(1), 2–4. <https://doi.org/10.1038/s42004-022-00806-0>
- Chen, G. (2004). Electrochemical technologies in wastewater treatment. *Separation and Purification Technology*, 38(1), 11–41. <https://doi.org/10.1016/j.seppur.2003.10.006>
- Chen, X., Chen, G., & Yue, P. L. (2002). Novel Electrode System for Electroflotation of Wastewater. *Environmental Science and Technology*, 36(4), 778–783. <https://doi.org/10.1021/es011003u>
- Dabke, R. B., Gebeyehu, Z., & Padelford, J. (2012). Determining the transference number of H +(aq) by a modified moving boundary method: A directed study for the undergraduate physical chemistry laboratory. *Journal of Chemical Education*, 89(12), 1600–1603. <https://doi.org/10.1021/ed200786a>
- De Oliveira Da Mota, I., De Castro, J. A., De Góes Casqueira, R., & De Oliveira Junior, A. G. (2015). Study of Electroflotation Method for Treatment of Wastewater from Washing Soil Contaminated by Heavy Metals. *Journal of Materials Research and Technology*, 4(2), 109–113. <https://doi.org/10.1016/j.jmrt.2014.11.004>
- De Silva, Y. S. K., Middleton, P. H., & Kolhe, M. L. (2020). Performance comparison of mono-polar and bi-polar configurations of alkaline electrolysis stack through 3-D modelling and experimental fabrication. *Renewable Energy*, 149, 760–

772. <https://doi.org/10.1016/j.renene.2019.12.087>

Dewi, M. N. S., & Suseno. (2023). Analisis Warna dan Chemical Oxygen Demand (COD) pada Air Limbah Industri Tekstil. *Jurnal Kimia Dan Rekayasa*, 3(2), 1–7.

Emamjomeh, M.M., & Sivakumar, M. (2009). Review of pollutants removed by electrocoagulation and electrocoagulation/flotation processes. *Journal of environmental management*, 90 5, 1663-79.

Gani, J. F., Taroepratjeka, D. A. H., & Marganiningrum, D. (2023). Efisiensi Penggunaan Material Preservasi Mikroorganisme (Mpmo) Dalam Penyisihan Timbal (Pb) Dan Kromium (Cr) Pada Limbah Cair Industri Tekstil Menggunakan Reaktor Batch. *Jurnal Reka Lingkungan*, 11(2), 130–139. <https://doi.org/10.26760/rekalingkungan.v11i2.130-139>

Genc, A., & Eryilmaz, C. (2017). Dependency of removal efficiency on electrode arrangements in the treatment of oily wastewaters by electrocoagulation. *Separation Science and Technology (Philadelphia)*, 52(9), 1594–1601. <https://doi.org/10.1080/01496395.2017.1295997>

Gunnarsson, G., Óskarsdóttir, G., Frostason, S., & Magnússon, J. H. (2019). Aluminum electrolysis with multiple vertical non-consumable electrodes in a low temperature electrolyte. *Minerals, Metals and Materials Series*, 803–810. https://doi.org/10.1007/978-3-030-05864-7_98

Haryono, H. (2021). Kinerja Metode Elektroflotasi pada Pengolahan Air Limbah Pewarna Tekstil Dispersi. *Jurnal Ilmu Dan Inovasi Fisika*, 5(2), 105–115. <https://doi.org/10.24198/jiif.v5i2.33108>

Hu, Y., Sun, W., & Wang, D. (2010). Electrochemistry of Flotation of Sulphide Minerals. In *Angewandte Chemie International Edition*, 6(11), 951–952. Springer Science & Business Media.

Irhamni, I. (2017). Serapan Logam Berat Esensial dan Non Esensial pada Air Lindi TPA Kota Banda Aceh Dalam Mewujudkan Pembangunan Berkelanjutan.

Jiménez, C., Sáez, C., Cañizares, P., & Rodrigo, M. A. (2016). *Design and optimization Optimization of a combined electrocoagulation-electroflotation reactor for wastewater treatment*.

Jiménez, C., Talavera, B., Sáez, C., Cañizares, P., & Rodrigo, M.A. (2010). Study of the production of hydrogen bubbles at low current densities for electroflotation processes. *Journal of Chemical Technology & Biotechnology*, 85, 1368-1373.

Kiswanto, Wintah, & Maulana, J. (2019). Penurunan Warna, TSS, dan Cr pada Limbah Batik Tulis Secara Elektrolisis dan Biosand di Desa Kalipucang Wetan Kabupaten Batang. *RISTEK: Jurnal Riset, Inovasi Dan Teknologi Kabupaten Batang*, 4(1), 7–17. <https://doi.org/10.55686/ristek.v4i1.62>

- Ledoh, S. M., Ola, P. D., & Kadang, L. (2022). Penurunan Kasar COD dan TSS Limbah Cair Tahu Menggunakan Elektroda Al-C dengan Metode Elektrokimia. *Jurnal Fisika : Fisika Sains Dan Aplikasinya*, 7(2), 31–35. <https://doi.org/10.35508/fisa.v7i2.9343>
- Lestari, N. D., & Agung, T. (2014). Penurunan TSS dan Warna Limbah Industri Batik Secara Elektro Koagulasi. *Envirotek: Jurnal Ilmiah Teknik Lingkungan*, 6(1), 37–44.
- Maharadja, A. N., Maulana, I., & Dermawan, B. A. (2021). Penerapan Metode Regresi Linear Berganda untuk Prediksi Kerugian Negara Berdasarkan Kasus Tindak Pidana Korupsi. *Journal of Applied Informatics and Computing*, 5(1), 95–102. <https://doi.org/10.30871/jaic.v5i1.3184>
- Mohtashami, R., & Shang, J. Q. (2019). Electroflotation for Treatment of Industrial Wastewaters: A Focused Review. *Environmental Processes*, 6(2), 325–353. <https://doi.org/10.1007/s40710-019-00348-z>
- Mukhtar, R., Lahtiani, S., Panjaitan, E.H., Wahyudi, H.D., Santoso, M.F., & Lestiani, D.D. (2014). KAJIAN BAKU MUTU LOGAM BERAT DI UDARA AMBIEN SEBAGAI BAHAN MASUKAN LAMPIRAN PP 41/1999 TENTANG PENGENDALIAN PENCEMARAN UDARA.
- Nathanael, D., Agape, K. M., Anggorowati, A. A., & Joewono, A. (2021). Pengolahan Limbah Cair Industri dari PT. Sier Menggunakan Metode Elektroflotasi (EF). *Widya Teknik*, 20(2), 61–65. <https://doi.org/10.33508/wt.v20i2.2993>
- Nurbarasamuma, N., & Chaerul, M. (2022). Pencemaran Logam Berat Hg, As, Cd Di Sedimen Sungai Langkowala Akibat Aktivitas Penambangan Kabupaten Bombana Sulawesi Tenggara. *Jurnal Lingkungan Almuslim*.
- Nuzwan Sudariana, Syarif Hidayat, M., Futri, D. A., & Irawan, V. E. (2023). Peramalan Inflasi di Sukabumi: Dengan Metode Regresi Linear dan Exponential Smoothing. *Jurnal RESTIKOM : Riset Teknik Informatika Dan Komputer*, 5(2), 179–187. <https://doi.org/10.52005/restikom.v5i2.154>
- Pratamadina, E., & Wikaningrum, T. (2022). Potensi Penggunaan Eco Enzyme pada Degradasi Deterjen dalam Air Limbah Domestik. *Jurnal Serambi Engineering*, 7(1), 2722–2728. <https://doi.org/10.32672/jse.v7i1.3881>
- Putra, R.S., Arrunillah, D., Fitria, F., & Ripki, N. (2021). Measurement of Gas Bubbles Distribution on Electroflotation Process Using Titanium and Stainless Steel Electrode with DinoCapture 2.0. 2021 IEEE International Conference on Health, Instrumentation & Measurement, and Natural Sciences (InHeNce), 1–5.
- Putri, A. A., Meicahayanti, I., Nugroho, S., Ibrahim, & Zulya, F. (2023). Pengaruh Waktu Kontak serta Jenis Elektroda Al-Al dan Al-Fe pada Elektrokoagulasi dalam Penyisihan Fe dan Mn Air Asam Tambang. *Jurnal Envirotek*, 15(2),

124–128. <https://doi.org/10.33005/envirotek.v15i2.272>

Putri, C. I. (2020). Pengolahan Air Sungai menjadi Air Bersih dengan Proses Elektroflotasi-Biokoagulasi menggunakan Lidah Buaya (*Aloe vera*) dan Jagung (*Zea mays*). *Universitas Islam Indonesia*.

Rahmawan, M. F., Pramitasari, N., & Kartini, A. M. (2023). Pengaruh Aerasi Terhadap Penurunan Kadar Cod Limbah Cair Laundry Pada Proses Fitotreatment Menggunakan Tanaman Eceng Gondok (*Eichhornia Crassipes*). *Jurnal Sains & Teknologi Lingkungan*, 15(1), 89–105. <https://doi.org/10.20885/jstl.vol15.iss1.art7>

Rini, M. W., & Ananda, N. (2022). Penyuluhan Warehouse Management pada UMKM melalui Perbaikan secara Berkelanjutan. *PengabdianMu: Jurnal Ilmiah Pengabdian Kepada Masyarakat*, 7(1), 80–86. <https://doi.org/10.33084/pengabdianmu.v7i1.2302>

Rudy, T. O., Hendronursito, Y., & S, D. A. (2018). Analisis Pengaruh Parameter Pengelasan GTAW pada Stainless Steel AISI 304 Terhadap Sifat Mekanis Dan Struktur Mikro. *Poros*, 15(1), 53. <https://doi.org/10.24912/poros.v15i1.1255>

Samantara, A. K., & Ratha, S. (2019). Types of Electrolysis and Electrochemical Cell. *SpringerBriefs in Materials*, 5–9. https://doi.org/10.1007/978-3-030-24861-1_2

Setianingrum, N. P., Prasetya, A., & Sarto. (2017). Pengaruh Tegangan Listrik, Jarak Antar Elektroda dan Waktu Kontak Terhadap Penurunan Zat Warna Remazol Red RB Menggunakan Metode Elektrokoagulasi. *Prosiding Seminar Nasional Teknologi Pengolahan Limbah XV*, 147–156.

Shuhaimi-Othman, M., & Gasim, M.B. (2005). Kepekatan logam berat dalam air di Lembangan Sungai Semenyih, Selangor.

Sihombing, R. P., & Sarungu, Y. T. (2022). Pengolahan Air Limbah Industri Tekstil dengan Metoda Elektrokoagulasi Menggunakan Elektroda Besi (Fe) dan Aluminum (Al). *JC-T (Journal Cis-Trans): Jurnal Kimia Dan Terapannya*, 6(2), 11–18. <https://doi.org/10.17977/um0260v6i22022p011>

Solihah, A. A., & Suwerda, B. (2020). *EFEKTIVITAS BERBAGAI VARIASI TEGANGAN LISTRIK PADA PROSES ELEKTROLISIS DALAM PENURUNAN KADAR Cr DAN COD LIMBAH CAIR PENYAMAKAN KULIT* (Doctoral dissertation, Poltekkes Kemenkes Yogyakarta). Sugito, Kholif, M. Al, Tyas, Y. A. N., & Sutrisno, J. (2022). Pengaruh Elektrokoagulasi pada Penurunan Kadar BOD, COD, dan Amonia untuk Mengolah Limbah Cair Industri Pembekuan Udang (Cold Storage). *Jurnal Alam Dan Lingkungan*, 13(1), 57–65.

Susantini, N. N. M., & Susilo, N. A. (2019). Studi awal perancangan plant pelepasan tinta pada kertas bekas dengan metode flotasi skala laboratorium. *JURNAL*

VOKASI TEKNOLOGI INDUSTRI (JVTI), 1(1).

- Sutanhaji, T., Suharto, B., & Shofiyunniswah, S. (2019). Elektrokoagulasi untuk Penurunan Kadar Kromium (Cr), Chemical Oxygen Demand (COD), dan Total Suspended Solid (TSS) pada Limbah Industri Penyamakan Kulit di Singosari Kabupaten Malang. *Dampak*, 16(2), 131. <https://doi.org/10.25077/dampak.16.2.131-138.2019>
- Tchobanoglous, G., L. Burton, F., & Stensel, D. H. (2003). Metcalf & Eddy: Wastewater Engineering: Treatment and Reuse (Fourth Edition). In *McGraw Hill Companies, Inc.* (Issue 7, p. 421).
- Wang, X., Jiang, J., & Gao, W. (2022). Reviewing Textile Wastewater Produced by Industries: Characteristics, Environmental Impacts, and Treatment Strategies. *Water Science and Technology*, 85(7), 2076–2096. <https://doi.org/10.2166/wst.2022.088>
- Wartono, & Aprianto. (2021). Pengaruh Arus Pengelasan Terhadap Sifat Mekanis Sambungan Butt-Joint Las TIG Aluminium. *Jurnal Engine: Energi, Manufaktur, Dan Material*, 5(1), 24. <https://doi.org/10.30588/jeemm.v5i1.848>
- Widyastuti, R. P., Suhardi, S. H., Permana, D., Hasan, K., Kardena, E., & Jatnika, A. (2020). STUDI TINGKAT KETERURAIAN PEWARNA TEKSTIL MENGGUNAKAN LAKASE MURNI DARI Marasmiellus palmivorus. *Manfish Journal*, 1(01), 21–31. <https://doi.org/10.31573/manfish.v1i01.35>
- Yuniarti, B. I., & Widayatno, T. (2022). Analisa Perubahan BOD, COD, dan TSS Limbah Cair Industri Tekstil Menggunakan Metode Elektrooksidasi-elektrokoagulasi Elektroda Fe-C dengan Sistem Semi Kontinyu. *Jurnal Rekayasa Hijau*, 5(3), 238–247. <https://doi.org/10.26760/jrh.v5i3.238-247>
- Zhang, L., Zhao, H., Wilkinson, D.P., Sun, X., & Zhang, J. (Eds.). (2020). *Electrochemical Water Electrolysis: Fundamentals and Technologies* (1st ed.). CRC Press. <https://doi.org/10.1201/9780429447884>

LAMPIRAN

Lampiran 1. Baku Mutu Air Limbah Industri Tekstil

LAMPIRAN II

PERATURAN MENTERI LINGKUNGAN HIDUP DAN KEHUTANAN REPUBLIK INDONESIA

NOMOR P.16/MENLHK/SETJEN/KUM.1/4/2019

TENTANG

PERUBAHAN KEDUA ATAS PERATURAN MENTERI LINGKUNGAN HIDUP NOMOR 5 TAHUN 2014

TENTANG BAKU MUTU AIR LIMBAH

BAKU MUTU AIR LIMBAH BAGI USAHA DAN/ATAU KEGIATAN INDUSTRI TEKSTIL

Debit	BOD	COD	TSS	Fenol Total	Krom Total	Amonia Total	Sulfida	Minyak Lemak	pH	Warna	Suhu	Debit Maksimum
≤100	60	150	50	0,5	1	8	0,3	3	6 - 9	200	Deviasi 2*	100
100 < x < 1000	45	125	40	0,5	1	8	0,3	3	6 - 9	200	Deviasi 2*	100
≥1.000 m ³ /hari	35	115	30	0,5	1	8	0,3	3	6 - 9	200	Deviasi 2*	100
mg/L	mg/L	mg/L	mg/L	mg/L	mg/L	mg/L	mg/L	mg/L	Pt-Co	°C	m ³ /ton produk	

Keterangan:

Pt-Co: *true colour*

*: temperatur udara sekitar

Salinan sesuai dengan aslinya
KEPALA BIRO HUKUM,

MENTERI LINGKUNGAN HIDUP DAN
KEHUTANAN REPUBLIK INDONESIA,

ttd.

KRISNA RYA

ttd.

SITI NURBAYA

Lampiran 2. Metode Pengujian Sampel

A. Parameter Warna

SNI 06-6989.24-2005 Air dan air limbah – Bagian 24: Cara uji warna secara perbandingan visual

1. Prinsip Pengujian

Cara uji ini digunakan untuk menentukan warna air secara visual. Membandingkan warna dari contoh uji dengan warna larutan baku yaitu larutan platina kobal dengan mata. Pengujian ini dilakukan terhadap contoh uji air dengan warna tidak lebih dari 70 unit Pt-Co. Apabila warna lebih dari 70 satuan unit Pt-Co, dilakukan pengenceran langsung pada tabung Nessler.

2. Alat

- Tabung Nessler 50 mL;
- Neraca analitik;
- Labu ukur 100 mL

3. Bahan

- Air suling;
- Larutan induk warna 500 unit Pt-Co;
- Larutkan 1,246 g kalium kloro platina, K_2PtCl_6 yang ekivalen dengan 500 mg logam platina dan 1,0 g kobal klorida, $CoCl_2 \cdot 6H_2O$ yang ekivalen dengan 250 mg logam kobal;
- larutan baku dengan unit warna 5, 10, 15, 20, 25, 30, 35, 40, 45, 50, 60 dan 70. Ambil secara kuantitatif larutan induk 500 unit Pt-Co masing-masing sebanyak 0,5 mL; 1,0 mL; 1,5 mL; 2,0 mL; 2,5 mL; 3,0 mL; 3,5 mL; 4,0 mL; 4,5 mL; 5,0 mL; 6,0 mL dan 7,0 mL kemudian diencerkan dengan air suling menjadi 50 mL di dalam tabung Nessler.

4. Prosedur Pengujian

- a. Masukkan contoh ke dalam tabung Nessler 50 mL;
- b. Tempatkan tabung Nessler ditempatkan pada alas yang berwarna putih;
- c. Bandingkan warna contoh secara visual dengan larutan baku dimulai dari larutan baku paling encer;
- d. Tetapkan warna contoh sesuai dengan skala warna larutan baku yang paling mendekati atau berada diantara dua skala larutan baku;
- e. Apabila warna lebih dari 70 unit Pt-Co, dilakukan pengenceran langsung pada tabung Nessler.

5. Perhitungan

$$\text{Warna contoh (unit Pt - Co)} = \frac{A \times 50}{B}$$

Keterangan:

A = perkiraan unit warna dari contoh yang diencerkan

B = mL contoh yang diencerkan

B. Parameter Krom Total

SNI 6989.17:2009 Air dan air limbah – Bagian 17: Cara uji krom total (Cr-T) secara

Spektrofotometri Serapan Atom (SSA) – Nyala

1. Prinsip Pengujian

Metode ini digunakan untuk penentuan logam krom total (Cr-T) dalam air dan air limbah secara spektrofotometri serapan atom (SSA) – nyala pada kisaran kadar Cr 0,2 mg/L sampai dengan 10 mg/L dengan Panjang gelombang 357,9 nm. Analit logam krom dalam nyala udara-asetilen diubah menjadi bentuk atomnya, menyerap energi radiasi elektromagnetik yang berasal dari lampu katoda dan besarnya serapan berbanding lurus dengan kadar analit.

2. Alat

- Spektrofotometer Serapan Atom (SSA)-nyala
- Lampu katoda berongga (*Hollow Cathode Lamp/HCL*) krom
- Gelas *beaker* 100 mL dan 250 mL
- Pipet volumetrik 10,0 mL dan 50,0 mL
- Labu ukur 50,0 mL; 100,0 mL dan 1000,0 mL
- *Erlenmeyer* 100 mL
- Corong gelas
- Kaca arloji
- Pemanas Listrik
- Saringan membran dengan ukuran pori 0,45 µm
- Timbangan analitik dengan ketelitian 0,0001 g
- Labu semprot

3. Bahan

- Air bebas mineral
- Asam nitrat (HNO_3) pelat p.a.
- Krom trioksida (CrO_3) atau kalium dikromat ($\text{K}_2\text{Cr}_2\text{O}_7$)
- Gas asetilen (C_2H_2) HP dengan tekanan minimum 100 psi
- Larutan pengencer HNO_3 0,05 M
Larutkan 3,5 mL HNO_3 pekat ke dalam 1000 mL air bebas mineral dalam gelas *beaker*
- Larutan pencuci HNO_3 5% (v/v)
Tambahkan 50 mL asam nitrat pekat ke dalam 800 mL air bebas mineral ke dalam gelas *beaker* 1000 mL, lalu tambahkan air bebas mineral hingga 1000 mL dan homogenkan
- Udara tekan HP atau udara tekan kompresor

4. Prosedur Pengujian

- a. Aspirasikan contoh uji ke dalam SSA-nyala lalu ukur serapannya pada panjang gelombang 357,9 µm. bila diperlukan, lakukan pengenceran
- b. Catat hasil pengukuran

5. Perhitungan

$$\text{Cr} - \text{T} (\text{mg/L}) = C \times f_p$$

Keterangan:

C = kadar yang didapat dari hasil pengukuran (mg/L)

f_p = faktor pengenceran

Lampiran 3. Hasil Pengujian Sampel

 Kemenkes	Kementerian Kesehatan Labkesmas Makassar I  Jl. Perintis Kemerdekaan KM. 11 Kec. Tamalanrea Makassar 90245 0811415655 www.bblabkesmasmakassar.go.id
---	---

LAPORAN HASIL UJI
Report of Analysis
 No : 24014573 - 24014585 / LHU / BBLK-MKS / VI / 2024

Nama Customer	:	RANI ANGRAENI
Customer Name	:	
Alamat	:	Universitas Hasanuddin
Address	:	
Jenis Sampel	:	Air Limbah Industri Tekstil
Type of Sample (S)	:	
No. Sampel	:	24014573 - 24014585
No. Sample	:	
Tanggal Penerimaan	:	21 Juni 2024
Received Date	:	June 21, 2024
Tanggal Pengujian	:	21 Juni 2024
Test Date	:	June 21, 2024
	s/d	03 Juli 2024
	to	July 03, 2024

HASIL PEMERIKSAAN

No	No. Lab	Kode Sampel	Parameter	Satuan	Hasil Uji	Spesifikasi Metode
1	24014573	1 (A)	Warna	TCU	50	SNI 06 - 6989.24 - 2005
			Chromium (Cr)	mg/L	4,1264	AAS
2	24014574	1 (B)	Warna	TCU	50	SNI 06 - 6989.24 - 2005
			Chromium (Cr)	mg/L	4,5307	AAS
3	24014575	2 (A)	Warna	TCU	50	SNI 06 - 6989.24 - 2005
			Chromium (Cr)	mg/L	4,4135	AAS
4	24014576	2 (B)	Warna	TCU	75	SNI 06 - 6989.24 - 2005
			Chromium (Cr)	mg/L	5,6638	AAS
5	24014577	3 (A)	Warna	TCU	40	SNI 06 - 6989.24 - 2005
			Chromium (Cr)	mg/L	3,8488	AAS
6	24014578	3 (B)	Warna	TCU	62,5	SNI 06 - 6989.24 - 2005
			Chromium (Cr)	mg/L	5,6106	AAS
7	24014579	4 (A)	Warna	TCU	62,5	SNI 06 - 6989.24 - 2005
			Chromium (Cr)	mg/L	6,8614	AAS
8	24014580	4 (B)	Warna	TCU	75,5	SNI 06 - 6989.24 - 2005
			Chromium (Cr)	mg/L	6,6669	AAS
9	24014581	5 (A)	Warna	TCU	30	SNI 06 - 6989.24 - 2005
			Chromium (Cr)	mg/L	4,3343	AAS
10	24014582	5 (B)	Warna	TCU	75	SNI 06 - 6989.24 - 2005
			Chromium (Cr)	mg/L	6,7141	AAS
11	24014583	6 (A)	Warna	TCU	25	SNI 06 - 6989.24 - 2005
			Chromium (Cr)	mg/L	2,9331	AAS
12	24014584	6 (B)	Warna	TCU	62,5	SNI 06 - 6989.24 - 2005
			Chromium (Cr)	mg/L	5,1295	AAS
13	24014585	Kontrol	Warna	TCU	300	SNI 06 - 6989.24 - 2005
			Chromium (Cr)	mg/L	13,9580	AAS

Catatan : 1 Hasil uji ini berlaku untuk sampel yang diuji
 Note : 1 The analytical result are only valid for the tested sample
 2 Laporan hasil uji ini terdiri dari 1 halaman
 The report of analysis consists of 1 page
 3 Laporan hasil uji ini tidak boleh digandakan kecuali secara lengkap dan sejuz tertulis Laboratorium Pengujian Labkesmas Makassar I
 This report of analysis shall not be reproduced (copied) except for the completed one and with their written permission
 of the testing Laboratory Labkesmas Makassar I

Makassar, 5 Juli 2024
 Ketua Tim Program Layanan,
 dr. JINAWATY HAERUDDIN
 NIP. 1983022820112001





Lampiran 4. Perhitungan Elektron dan Gas yang Dihasilkan dalam Pengolahan

ELEKTRON YANG DIGUNAKAN DALAM REAKSI TIAP VARIASI PENGOLAHAN										
Elektron yang Digunakan	=	I	x	t						
Diketahui				96485,3						
I	=	3,4	A							
Variasi E1T1					Variasi E2T1					
t	=	30	Menit	=	1800	detik				
Elektron yang Digunakan	=	3,4	x	=	1800		Elektron yang Digunakan	=	3,4	
		96485,3							96485,3	
	=	0,063	elektron					=	0,063	
Variasi E1T2					Variasi E2T2					
t	=	50	Menit	=	3000	detik				
Elektron yang Digunakan	=	3,4	x	=	3000		Elektron yang Digunakan	=	3,4	
		96485,3							96485,3	
	=	0,106	elektron					=	0,106	
Variasi E1T3					Variasi E2T3					
t	=	70	Menit	=	4200	detik				
Elektron yang Digunakan	=	3,4	x	=	4200		Elektron yang Digunakan	=	3,4	
		96485,3							96485,3	
	=	0,148	elektron					=	0,148	

MOL GAS O2						
Mol Gas O2	=	$\frac{1}{4}$	\times	Elektron yang Digunakan		
Variasi E1T1				Variasi E2T1		
Elektron yang Digunakan	=	0,063		Elektron yang Digunakan	=	0,063
Mol Gas O2	=	$\frac{1}{4}$	\times	0,063	=	$\frac{1}{4}$
	=	$\frac{0,063}{4}$		Mol Gas O2	=	$\frac{0,063}{4}$
	=	0,016	mol		=	0,016
Variasi E1T2				Variasi E2T2		
Elektron yang Digunakan	=	0,106		Elektron yang Digunakan	=	0,106
Mol Gas O2	=	$\frac{1}{4}$	\times	0,106	=	$\frac{1}{4}$
	=	$\frac{0,106}{4}$		Mol Gas O2	=	$\frac{0,106}{4}$
	=	0,026	mol		=	0,026
Variasi E1T3				Variasi E2T3		
Elektron yang Digunakan	=	0,148		Elektron yang Digunakan	=	0,148
Mol Gas O2	=	$\frac{1}{4}$	\times	0,148	=	$\frac{1}{4}$
	=	$\frac{0,148}{4}$		Mol Gas O2	=	$\frac{0,148}{4}$
	=	0,037	mol		=	0,037

MOL GAS H2						
Mol Gas H2	=	$\frac{1}{2}$	\times	Elektron yang Digunakan		
Variasi E1T1					Variasi E2T1	
Elektron yang Digunakan	=	0,063			Elektron yang Digunakan	= 0,063
Mol Gas H2	=	$\frac{1}{2}$	\times	0,063	Mol Gas H2	= $\frac{1}{2}$ \times 0,063
	=	0,032	mol			= 0,032 mol
Variasi E1T2					Variasi E2T2	
Elektron yang Digunakan	=	0,106			Elektron yang Digunakan	= 0,106
Mol Gas H2	=	$\frac{1}{2}$	\times	0,106	Mol Gas H2	= $\frac{1}{2}$ \times 0,106
	=	0,053	mol			= 0,053 mol
Variasi E1T3					Variasi E2T3	
Elektron yang Digunakan	=	0,148			Elektron yang Digunakan	= 0,148
Mol Gas H2	=	$\frac{1}{2}$	\times	0,148	Mol Gas H2	= $\frac{1}{2}$ \times 0,148
	=	0,074	mol			= 0,074 mol

VOLUME GAS O ₂								
Volume	=	Jumlah Mol	×	Volume per mol pada STP				
1 mol gas	=	22,4	liter/mol					
Variasi E1T1					Variasi E2T1			
Volume	=	0,016	×	22,4	Volume	=	0,000	×
	=	0,355	liter			=	0,000	liter
Variasi E1T2					Variasi E2T2			
Volume	=	0,026	×	22,4	Volume	=	0,000	×
	=	0,592	liter			=	0,000	liter
Variasi E1T3					Variasi E2T3			
Volume	=	0,000	×	22,4	Volume	=	0,000	×
	=	0,000	liter			=	0,000	liter

VOLUME GAS H ₂								
Volume	=	Jumlah Mol	×	Volume per mol pada STP				
1 mol gas	=	22,4	liter/mol					
Variasi E1T1					Variasi E2T1			
Volume	=	0,032	×	22,4	Volume	=	0,032	×
	=	0,710	liter			=	0,710	liter
Variasi E1T2					Variasi E2T2			
Volume	=	0,053	×	22,4	Volume	=	0,053	×
	=	1,184	liter			=	1,184	liter
Variasi E1T3					Variasi E2T3			
Volume	=	0,074	×	22,4	Volume	=	0,074	×
	=	1,658	liter			=	1,658	liter

Lampiran 5. Hasil Pengujian Statistik

A. Hasil Uji Normalitas Hasil Data Hasil Pengolahan Parameter Warna

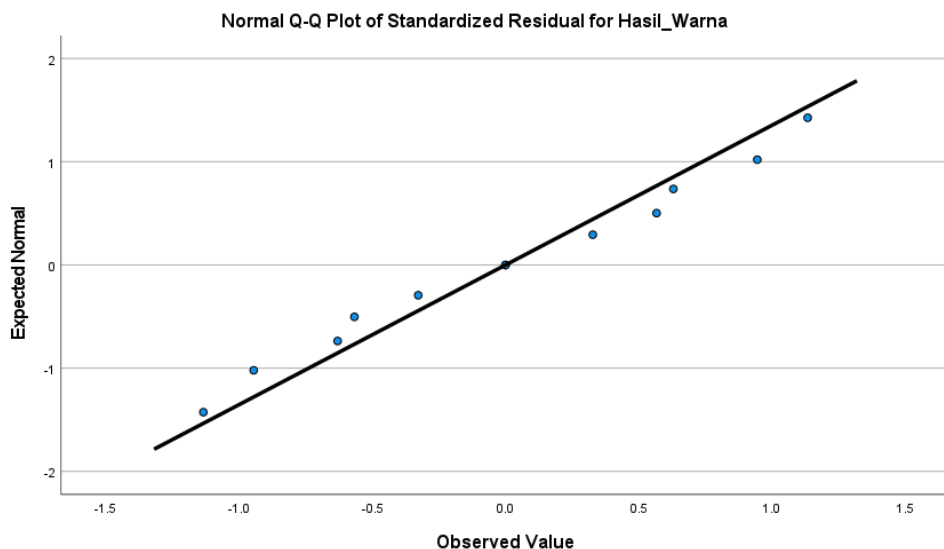
```
EXAMINE VARIABLES=ZRE_1
/PLOT BOXPLOT STEMLEAF NPLOT
/COMPARE VARIABLES
/STATISTICS DESCRIPTIVES
/CINTERVAL 95
/MISSING LISTWISE
/NOTOTAL.
```

Tests of Normality

	Kolmogorov-Smirnov ^a			Shapiro-Wilk		
	Statistic	df	Sig.	Statistic	df	Sig.
Standardized Residual for Hasil_Warna	.112	12	.200*	.964	12	.834

*. This is a lower bound of the true significance.

a. Lilliefors Significance Correction



B. Hasil Uji Normalitas Hasil Data Hasil Pengolahan Parameter Krom Total

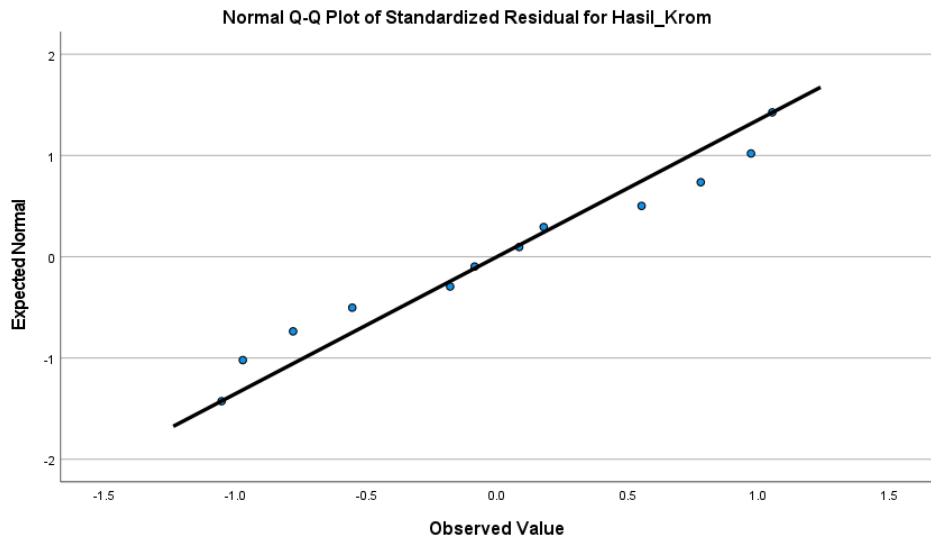
```
EXAMINE VARIABLES=ZRE_2
/PLOT BOXPLOT STEMLEAF NPLOT
/COMPARE VARIABLES
/STATISTICS DESCRIPTIVES
/CINTERVAL 95
/MISSING LISTWISE
/NOTOTAL.
```

Tests of Normality

	Kolmogorov-Smirnov ^a			Shapiro-Wilk		
	Statistic	df	Sig.	Statistic	df	Sig.
Standardized Residual for Hasil_Krom	.106	12	.200*	.941	12	.515

*. This is a lower bound of the true significance.

a. Lilliefors Significance Correction



C. Hasil Analisis Regresi Linear Berganda Variabel Jenis Elektroda dan Waktu Kontak Terhadap Parameter Warna

REGRESSION

/MISSING LISTWISE

/STATISTICS COEFF OUTS R ANOVA COLLIN TOL

/CRITERIA=PIN(.05) POUT(.10)

/NOORIGIN

/DEPENDENT Y1

/METHOD=ENTER X1 X2

/SCATTERPLOT=(*ZRESID ,*ZPRED)

/RESIDUALS NORMPROB(ZRESID).

Regression

Model Summary^b

Model	R	R Square	Adjusted R Square	Std. Error of the Estimate
1	.584 ^a	.341	-.099	9.65373

a. Predictors: (Constant), Waktu Kontak, Jenis Elektroda

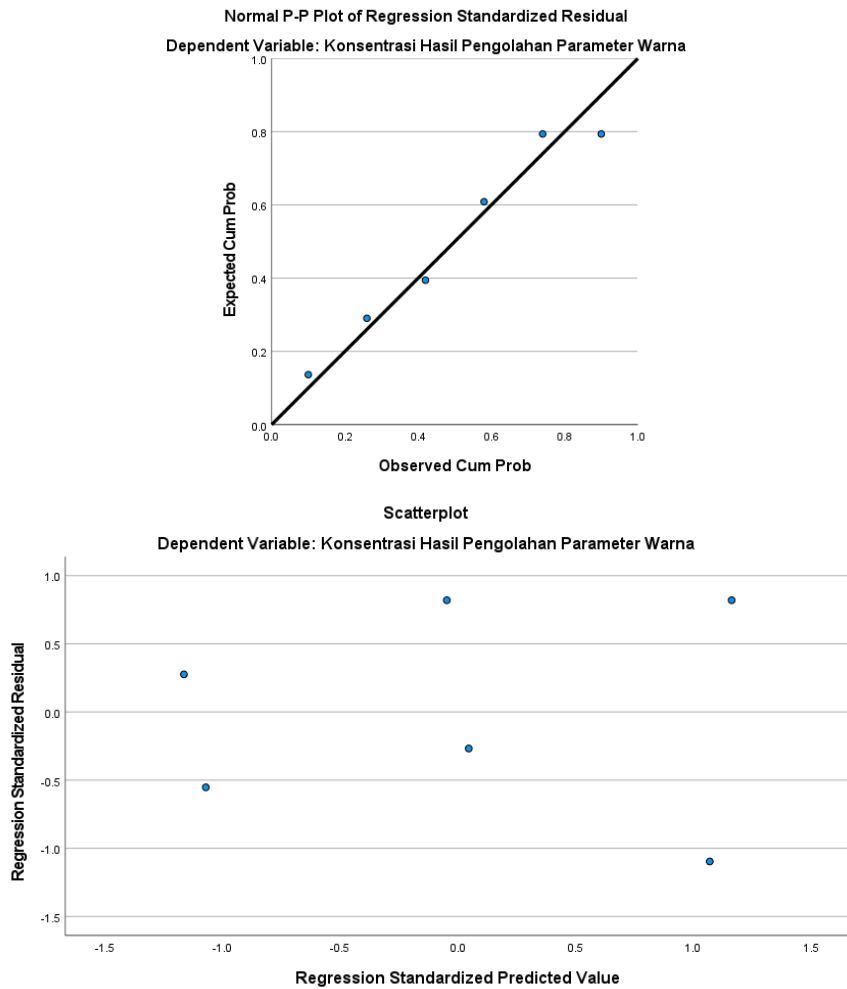
b. Dependent Variable: Konsentrasi Hasil Pengolahan Parameter Warna

Coefficients^a

Model	Unstandardized Coefficients		Standardized Coefficients Beta	t	Sig.	Collinearity Statistics	
	B	Std. Error				Tolerance	VIF
1	(Constant)	66.083	15.764	4.192	.025		
	Jenis Elektroda	.500	7.882	.030	.063	.953	1.000
	Waktu Kontak	-6.000	4.827	-.583	-1.243	.302	1.000

a. Dependent Variable: Konsentrasi Hasil Pengolahan Parameter Warna

Charts



D. Hasil Analisis Regresi Linear Berganda Variabel Jenis Elektroda dan Waktu Kontak Terhadap Parameter Krom Total

REGRESSION

```
/MISSING LISTWISE
/STATISTICS COEFF OUTS R ANOVA COLLIN TOL
/CRITERIA=PIN(.05) POUT(.10)
/NOORIGIN
/DEPENDENT Y2
/METHOD=ENTER X1 X2
/SCATTERPLOT=(*ZRESID ,*ZPRED)
/RESIDUALS NORMPROB(ZRESID).
```

Regression

Model Summary^b

Model	R	R Square	Adjusted R Square	Std. Error of the Estimate
1	.673 ^a	.453	.088	.93949

a. Predictors: (Constant), Waktu Kontak, Jenis Elektroda

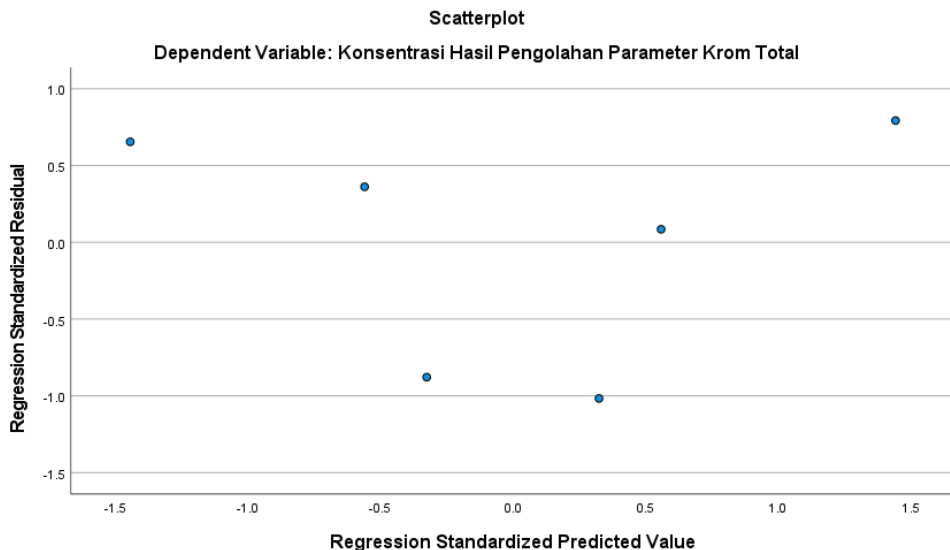
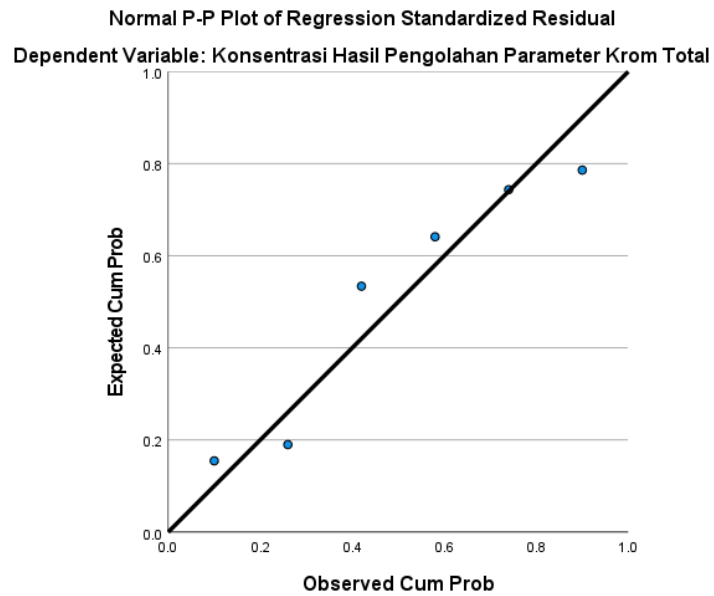
b. Dependent Variable: Konsentrasi Hasil Pengolahan Parameter Krom Total

Coefficients^a

Model	Unstandardized Coefficients		Standardized Coefficients Beta	t	Sig.	Collinearity Statistics	
	B	Std. Error				Tolerance	VIF
1	(Constant)	5.130	1.534	3.344	.044		
	Jenis Elektroda	.740	.767	.412	.965	.406	1.000
	Waktu Kontak	-.585	.470	-.532	-1.245	.301	1.000

a. Dependent Variable: Konsentrasi Hasil Pengolahan Parameter Krom Total

Charts



E. Hasil Analisis Metode *Curve Fitting* (Linear) Hubungan Pembentukan Gas O₂ dan H₂ Terhadap Parameter Warna

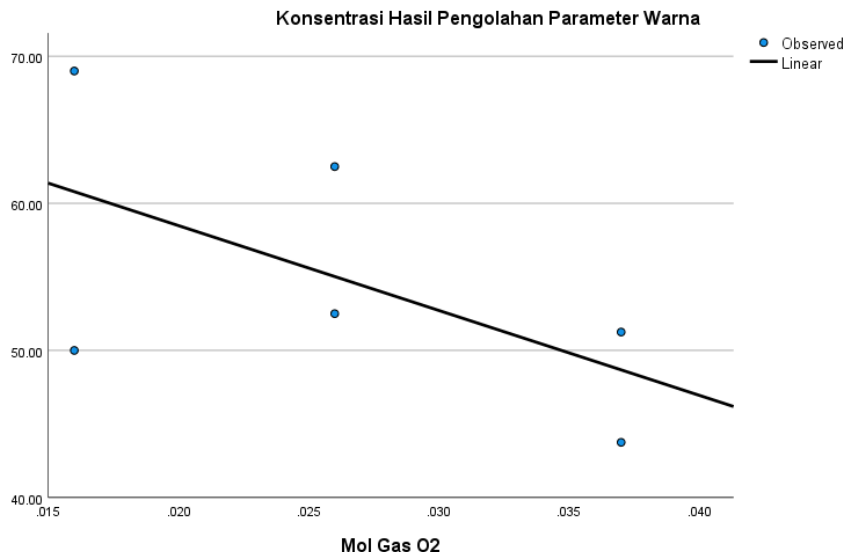
* Curve Estimation.
TSET NEWVAR=NONE.
CURVEFIT
/VARIABLES=Y1 WITH X1
/CONSTANT
/MODEL=LINEAR
/PLOT FIT.

Model Summary and Parameter Estimates

Dependent Variable: Konsentrasi Hasil Pengolahan Parameter Warna

Equation	R Square	Model Summary			Sig.	Parameter Estimates	
		F	df1	df2		Constant	b1
Linear	.347	2.122	1	4	.219	70.029	-577.039

The independent variable is Mol Gas O₂.



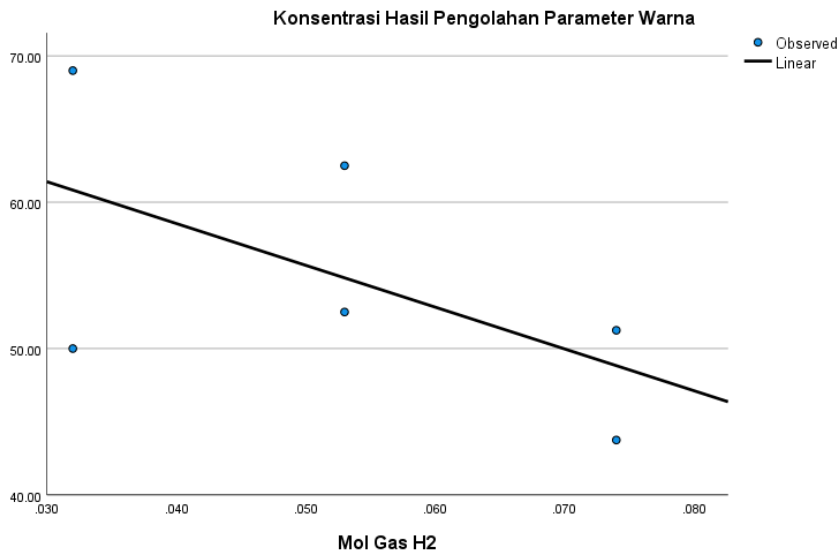
* Curve Estimation.
TSET NEWVAR=NONE.
CURVEFIT
/VARIABLES=Y1 WITH X2
/CONSTANT
/MODEL=LINEAR
/PLOT FIT.

Model Summary and Parameter Estimates

Dependent Variable: Konsentrasi Hasil Pengolahan Parameter Warna

Equation	R Square	Model Summary			Sig.	Parameter Estimates	
		F	df1	df2		Constant	b1
Linear	.340	2.057	1	4	.225	69.976	-285.714

The independent variable is Mol Gas H2.



F. Hasil Analisis Metode Curve Fitting (Linear) Hubungan Pembentukan Gas O₂ dan H₂ Terhadap Parameter Krom Total

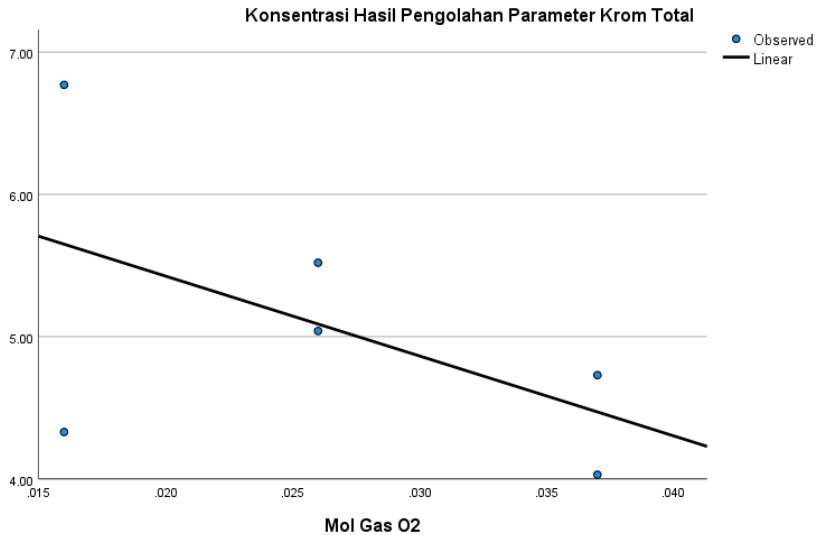
* Curve Estimation.
 TSET NEWVAR=NONE.
 CURVEFIT
 /VARIABLES=Y2 WITH X1
 /CONSTANT
 /MODEL=LINEAR
 /PLOT FIT.

Model Summary and Parameter Estimates

Dependent Variable: Konsentrasi Hasil Pengolahan Parameter Krom Total

Equation	R Square	Model Summary			Sig.	Parameter Estimates	
		F	df1	df2		Constant	b1
Linear	.288	1.615	1	4	.273	6.549	-56.148

The independent variable is Mol Gas O₂.



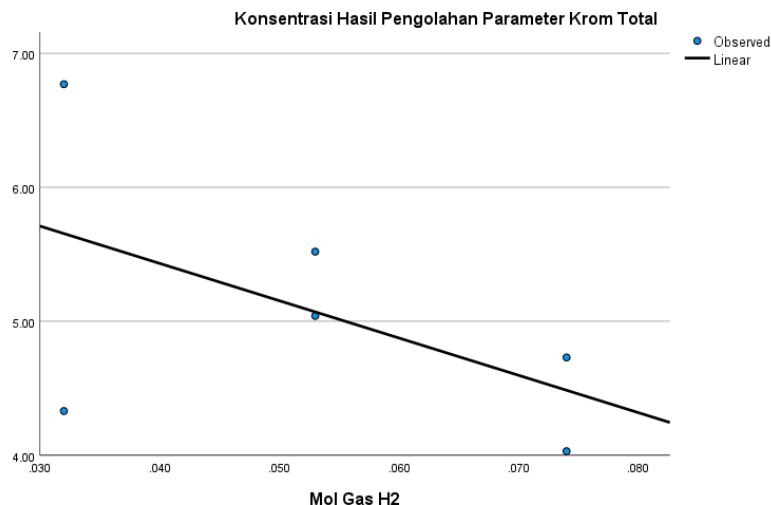
* Curve Estimation.
 TSET NEWVAR=NONE.
 CURVEFIT
 /VARIABLES=Y2 WITH X2
 /CONSTANT
 /MODEL=LINEAR
 /PLOT FIT.

Model Summary and Parameter Estimates

Dependent Variable: Konsentrasi Hasil Pengolahan Parameter Krom Total

Equation	R Square	Model Summary			Sig.	Parameter Estimates	
		F	df1	df2		Constant	b1
Linear	.283	1.578	1	4	.277	6.546	-27.857

The independent variable is Mol Gas H2.



Lampiran 6. Dokumentasi Penelitian**A. Pembuatan Sampel Penelitian****B. Proses Pengolahan Air Limbah**